

Corsi di aggiornamento

Progettazione in zona sismica

**Procedure semplificate e calcoli manuali  
per il controllo dell'ordine di grandezza  
dei risultati ottenuti dal programma di calcolo**

04 - Progetto a flessione semplice e composta

Vasto

30 settembre - 1 ottobre 2016

Aurelio Ghersi

# Progetto a flessione semplice e composta

- Questa presentazione richiama alcune formule utili per dimensionare sezioni in c.a. allo SLU e relative armature
- L'obiettivo è mostrare come il dimensionamento di sezioni e armature allo SLU:
  - Nel caso della flessione semplice richiede formule analoghe a quelle usate col metodo delle tensioni ammissibili
  - Nel caso di flessione composta, è addirittura più semplice rispetto a quanto si faceva con le TA
- La presentazione affianca, in parallelo, quella relativa al dimensionamento delle sezioni

Progetto di sezioni soggette  
a flessione semplice (travi)

# Progetto - stato limite ultimo

## Duttilità della sezione

Un parametro fondamentale nel valutare il modo in cui la sezione giunge al collasso è la duttilità.

Duttilità = rapporto tra rotazione ultima e rotazione corrispondente allo snervamento dell'armatura tesa

Una sezione che presenti una rottura duttile dà chiari segnali di preavviso (elevata fessurazione, notevole incremento della deformazione) che possono mettere in allarme e consentire interventi prima del crollo

In zona sismica la capacità di deformarsi plasticamente permette di dissipare con cicli isteretici

# Duttilità della sezione - esempio

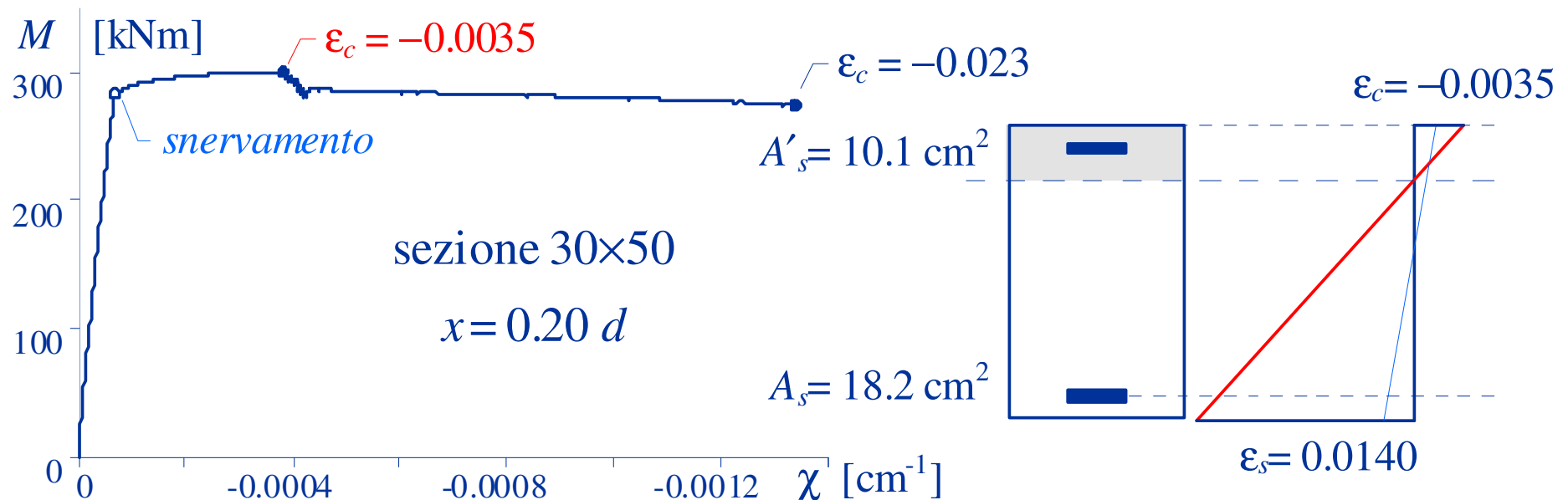
Sezione 30x50

$M_{Rd} = 300 \text{ kNm}$

$x = 0.20 d$

$\chi_u = -0.00132$   $\mu \cong 20$

Ottima duttilità



# Duttività della sezione - esempio

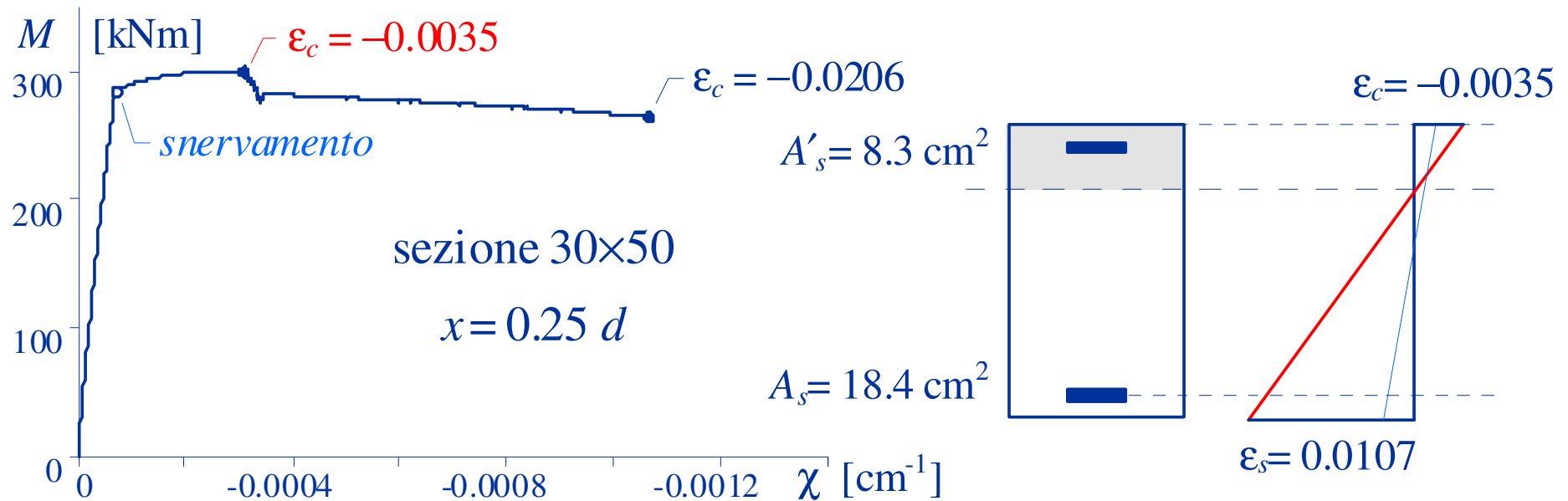
Sezione 30x50

$M_{Rd} = 300 \text{ kNm}$

$x = 0.25 d$

$\chi_u = -0.00106$   $\mu \cong 16$

Buona duttilità



# Duttività della sezione - esempio

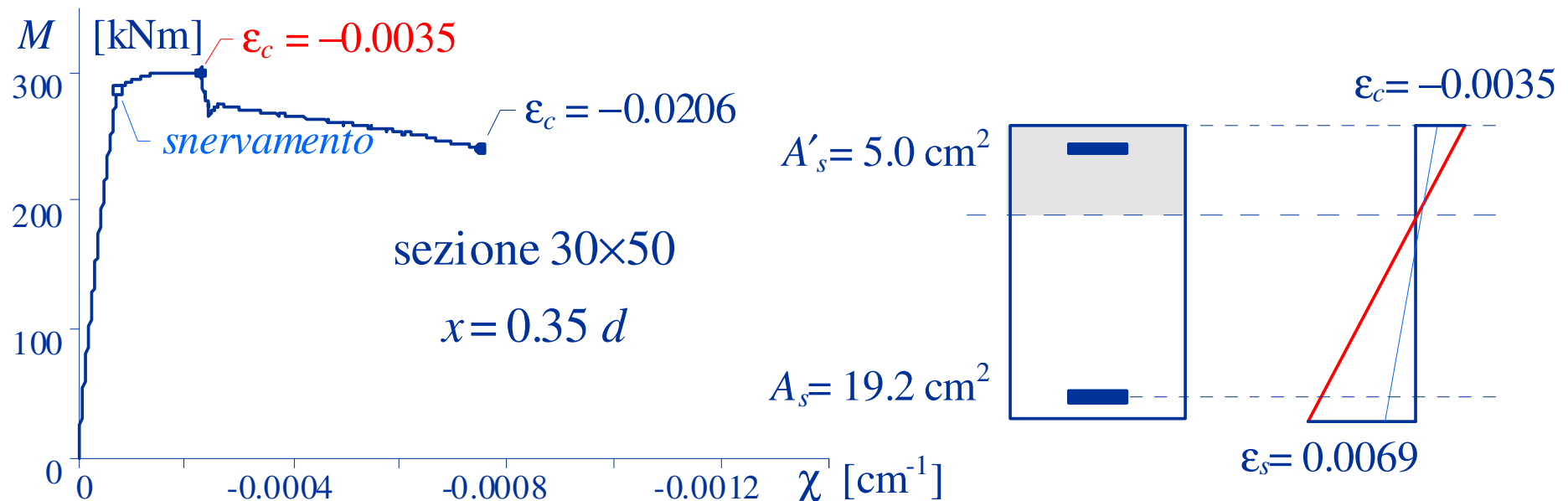
Sezione 30x50

$M_{Rd} = 300 \text{ kNm}$

$x = 0.35 d$

$\chi_u = -0.00076$   $\mu \cong 10$

Discreta duttilità



# Duttività della sezione - esempio

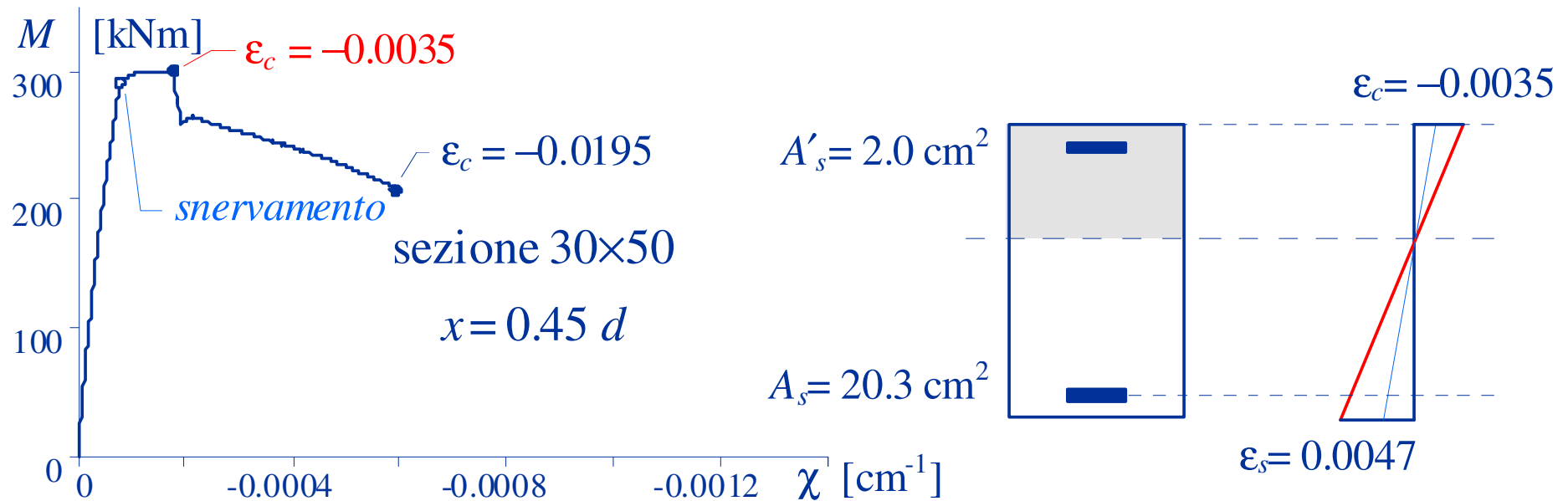
Sezione 30x50

$M_{Rd} = 300 \text{ kNm}$

$x = 0.45 d$

$\chi_u = -0.00059$   $\mu \cong 7$

Bassa duttilità



# Duttilità della sezione

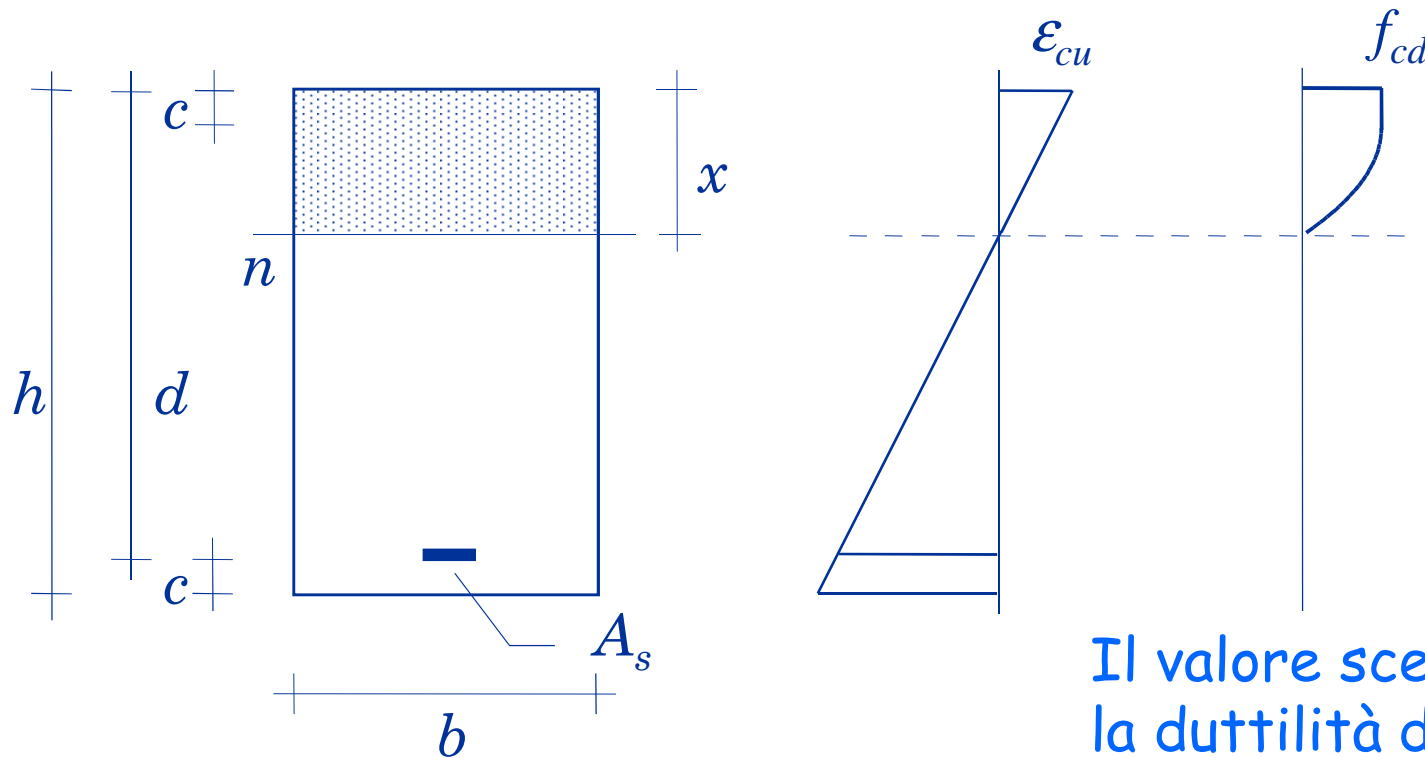
- La duttilità è maggiore se  $x/d$  è piccolo e se la deformazione  $\varepsilon_s$  dell'armatura tesa allo SLU è alta

Possiamo classificare le sezioni inflesse:

- ad alta duttilità            se         $\varepsilon_s \geq 0.010$      $x \leq 0.259 d$
- a media duttilità            se         $\varepsilon_{yd} < \varepsilon_s < 0.010$
- a bassa duttilità            se         $\varepsilon_s \leq \varepsilon_{yd}$

Per ottenere sezioni in c.a. duttili le progetteremo sempre assumendo  $\xi = x/d = 0.25$

# Progetto - stato limite ultimo



Posso assumere

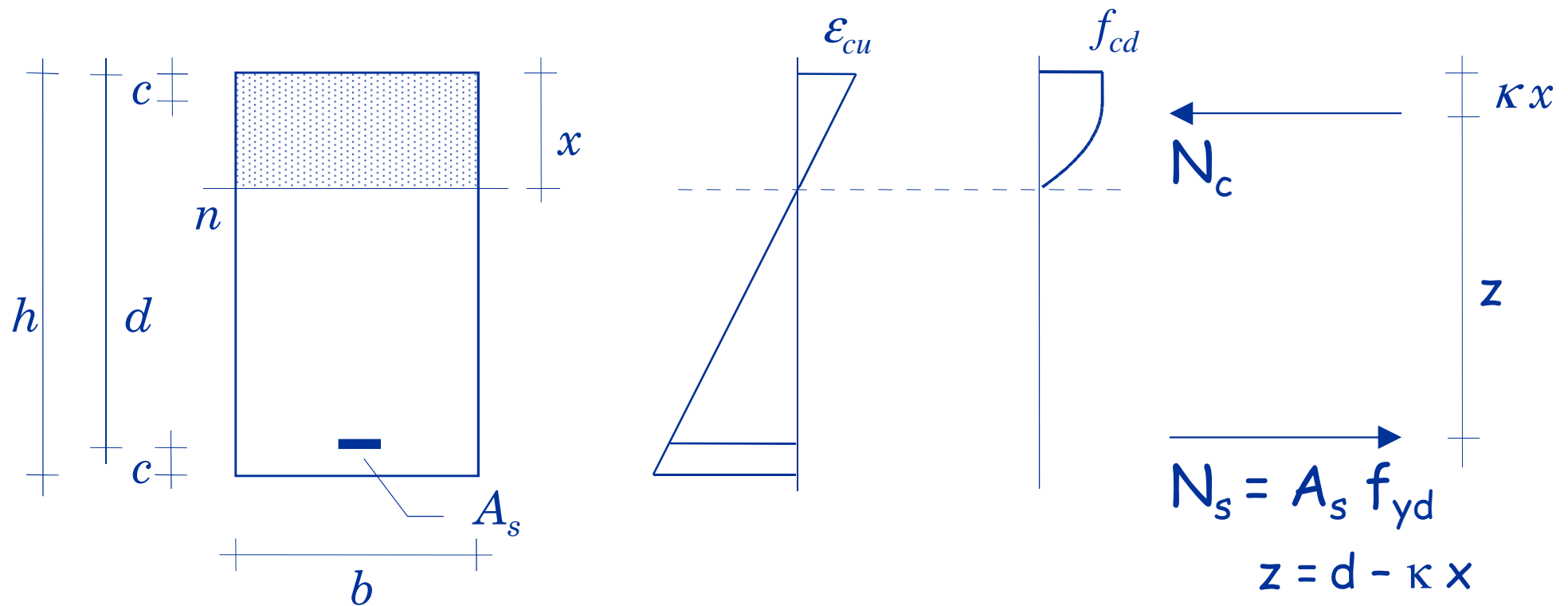
$$\xi = \frac{x}{d} = 0.25$$

Il valore scelto per  $\xi$  condiziona la duttilità della sezione

1 - Si assegna il diagramma di deformazioni che si vuole avere nella sezione

Buona duttilità con  $\xi=0.25$

# Progetto - stato limite ultimo

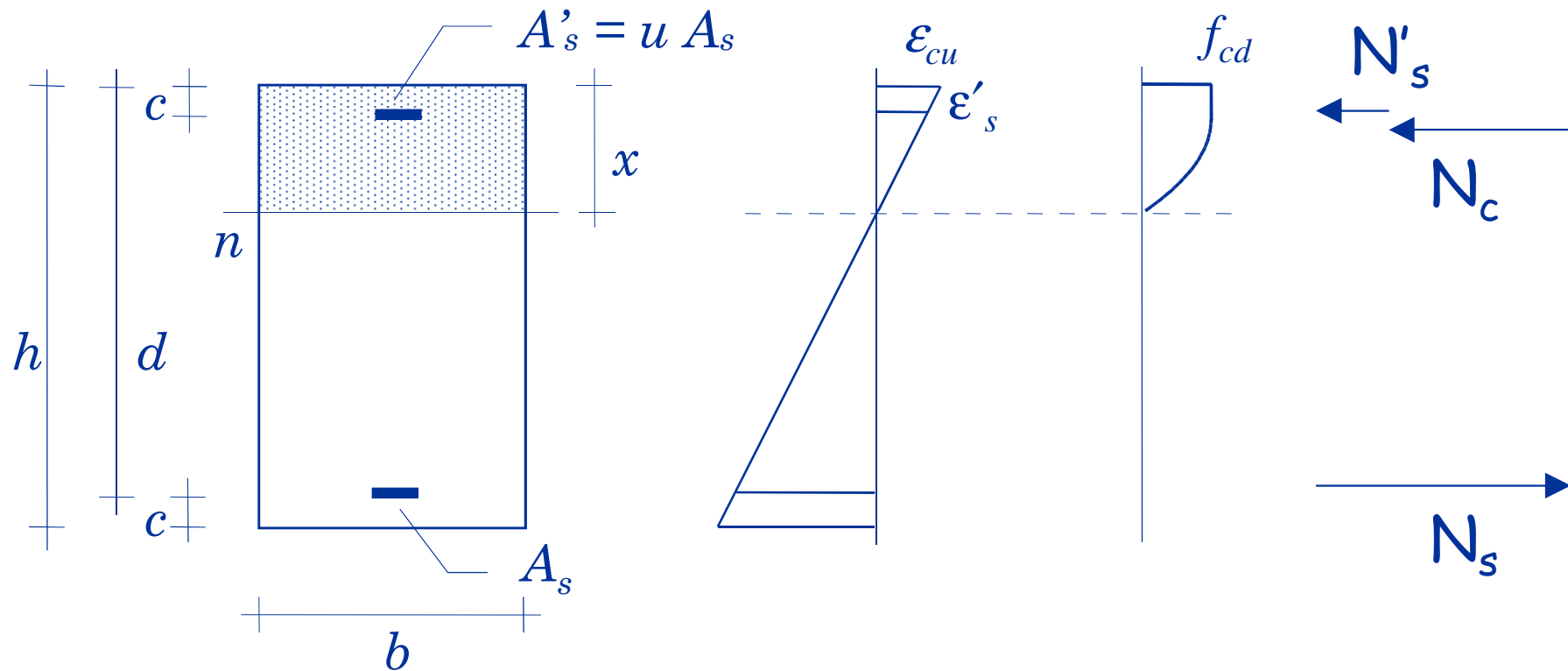


2 - Dall'equilibrio alla rotazione rispetto all'armatura si ottiene

$$d = r \sqrt{\frac{M}{b}}$$

con:  $r = \frac{1}{\sqrt{\beta \xi (1 - \kappa \xi) f_{cd}}}$

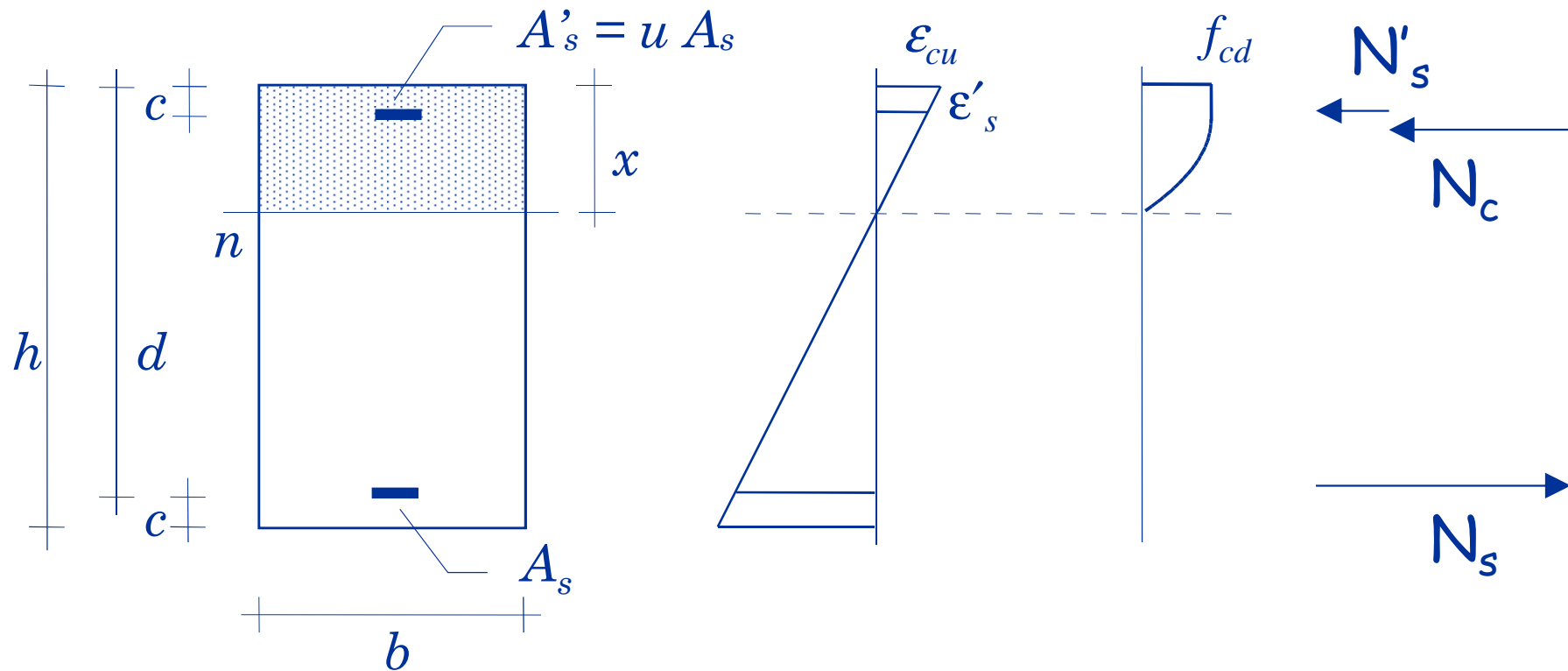
# Progetto - stato limite ultimo



ovvero, in presenza di doppia armatura

$$d = r' \sqrt{\frac{M}{b}}$$

# Progetto - stato limite ultimo



3 - Dall'equilibrio alla rotazione rispetto alla risultante di compressione si ottiene

$$A_s = \frac{M}{z f_{yd}} \cong \frac{M}{0.9 d f_{yd}}$$

# Valori di $z/d$ (C25/30, B450C)

sezioni progettate con  $\varepsilon_c = \varepsilon_{cu}$  ed  $\varepsilon_s = 0.010$  ( $\xi = 0.25$ )

## Tensioni ammissibili

	$\gamma = 0.05$	$\gamma = 0.10$	$\gamma = 0.20$
u	$s' = 0.49$	$s' = 0.42$	$s' = 0.26$
0	0.878		
0.25	0.887	0.881	0.873
0.50	0.896	0.883	0.868
0.75	0.905	0.885	0.863
1.00	0.914	0.888	0.858

## Stato limite ultimo

	$\gamma = 0.05$	$\gamma = 0.10$	$\gamma = 0.20$
u	$s' = 1.00$	$s' = 1.00$	$s' = 0.42$
0	0.892		
0.25	0.907	0.894	0.884
0.50	0.921	0.896	0.876

Sempre molto prossimo  
a 0.9

# Quanto vale il coefficiente $r$ ?

Stato limite ultimo:  
dipende solo dal calcestruzzo

per C25/30:  $r = 0.0197$

Col metodo delle tensioni ammissibili:  
dipende da calcestruzzo e acciaio

per C25/30 e B450C:  $r = 0.0256$

valore maggiore, ma i carichi sono minori ed il risultato finale è quasi lo stesso

# Esempio n. 1

progetto di sezione a semplice armatura

Stato limite ultimo:

$$M_{Ed} = 160 \text{ kNm}$$

$$d = r \sqrt{\frac{M_{Ed}}{b}} = 0.0197 \sqrt{\frac{160}{0.30}} = 0.45 \text{ m} \quad \text{uso } 30 \times 50$$

$$A_s = \frac{M}{0.9 d f_{yd}} = \frac{160 \times 10}{0.9 \times 0.46 \times 391} = 9.88 \text{ cm}^2$$

Tensioni ammissibili:

$$M = 115 \text{ kNm}$$

$$d = r \sqrt{\frac{M}{b}} = 0.0256 \sqrt{\frac{115}{0.30}} = 0.50 \text{ m} \quad \text{uso } 30 \times 55$$

$$A_s = \frac{M}{0.9 d \bar{\sigma}_s} = \frac{115 \times 10}{0.9 \times 0.51 \times 255} = 9.41 \text{ cm}^2$$

# Che relazione c'è tra $r$ ed $r'$ ?

Sia per SLU che per TA:

$$r' \cong r \sqrt{1 - s' u} \quad \text{con} \quad s' = \frac{\sigma'_s}{\sigma_{s,\max}} \quad u = \frac{A'_s}{A_s}$$

Si noti che  $s'$  dipende principalmente dal copriferro  $c$  (o meglio, dal rapporto  $\gamma = c/d$ )

Ma per SLU  $s'$  è molto spesso pari a 1 (è minore solo per travi a spessore)

mentre per TA  $s'$  è sempre basso (meno di 0.5)

# Valori di $r'$ (C25/30, B450C)

## Tensioni ammissibili

	$\gamma = 0.10$	$\gamma = 0.15$	$\gamma = 0.20$
u	$s' = 0.42$	$s' = 0.34$	$s' = 0.26$
0	0.0256		
0.25	0.0243	0.0246	0.0249
0.50	0.0229	0.0235	0.0242
0.75	0.0214	0.0223	0.0234
1.00	0.0198	0.0210	0.0226

## Stato limite ultimo

	$\gamma = 0.10$	$\gamma = 0.15$	$\gamma = 0.20$
u	$s' = 1.00$	$s' = 1.00$	$s' = 0.42$
0	0.0197		
0.25	0.0171	0.0180	0.0189
0.50	0.0139	0.0160	0.0181

Nota:  $\gamma = 0.10$  per travi emergenti  
 $\gamma = 0.20$  per travi a spessore

# Contributo dell'armatura compressa

Il contributo dell'armatura compressa nelle verifiche di resistenza allo SLU è diverso da quello fornito nelle verifiche alle TA

Come si vede, ciò è dovuto al fatto che nel caso di stato limite ultimo l'armatura compressa lavora al massimo o quasi ( $s' \cong 1$ ) mentre nel metodo delle tensioni ammissibili essa ha un tasso di lavoro molto più basso di quello ammissibile ( $s' \cong 0.2 \div 0.5$ )

Le differenze sono significative nel progetto delle travi emergenti e si riducono nel progetto delle travi a spessore

# Quanto è possibile ridurre la sezione grazie all'armatura compressa?

- Aumentando  $u = A'_s/A_s$  è possibile ridurre l'altezza della sezione
- Riducendo l'altezza aumenta l'armatura necessaria
- Necessità tecnologiche impongono limiti alla quantità di armatura (ribaditi dalla normativa)

Armatura minima:

$$A_s \geq 0.26 \frac{f_{ctm}}{f_{yk}} b d \geq 0.13 \% b d$$

0.15% per C25/30 e B450C

Armatura massima:

$$A_s \leq 3 \% b h$$

$$A'_s \leq 3 \% b h$$

Percentuale massima consigliata: 1 ÷ 1.5%

# Limiti alle formule di progetto per tener conto dei limiti all'armatura

Imponendo un limite all'armatura tesa:

$$A_s \leq \rho b d \quad \text{con } \rho = 0.010 \div 0.015$$

Si ha: 
$$A_s = \frac{M_{Ed}}{0.9 d f_{yd}} \leq \rho b d$$

E quindi:

$$d \geq r_s \sqrt{\frac{M_{Ed}}{b}} \quad \text{con} \quad r_s = \sqrt{\frac{1}{0.9 \rho f_{yd}}}$$

$= 0.0169$   
se  $\rho=0.010$   
 $= 0.0138$   
se  $\rho=0.015$

Non si può utilizzare un valore di  $r'$  inferiore a  $r_s$

Suggerisco per  $r'$  un limite tra 0.015 e 0.017

## Esempio n. 2

progetto di sezione a doppia armatura ( $u=0.25$ ,  $\gamma=0.10$ )

Stato limite ultimo:

$$M_{Ed} = 160 \text{ kNm}$$

$$d = r' \sqrt{\frac{M_{Ed}}{b}} = 0.0171 \sqrt{\frac{160}{0.30}} = 0.39 \text{ m} \quad \text{uso } 30 \times 45$$

era  $d=0.45 \text{ m}$  per  $u=0$

Tensioni ammissibili:

$$M = 115 \text{ kNm}$$

$$d = r' \sqrt{\frac{M}{b}} = 0.0243 \sqrt{\frac{115}{0.30}} = 0.48 \text{ m} \quad \text{uso } 30 \times 55$$

era  $d=0.50 \text{ m}$  per  $u=0$

## Esempio n. 2

progetto di sezione a doppia armatura ( $u=0.25$ ,  $\gamma=0.10$ )

Stato limite ultimo:

$$M_{Ed} = 160 \text{ kNm}$$

$$d = r' \sqrt{\frac{M_{Ed}}{b}} = 0.0171 \sqrt{\frac{160}{0.30}} = 0.39 \text{ m} \quad \text{uso } 30 \times 45$$

$$A_s = \frac{M_{Ed}}{0.9 d f_{yd}} = \frac{160 \times 10}{0.9 \times 0.41 \times 391} = 11.09 \text{ cm}^2$$

Tensioni ammissibili:

$$M = 115 \text{ kNm}$$

$$d = r' \sqrt{\frac{M}{b}} = 0.0243 \sqrt{\frac{115}{0.30}} = 0.48 \text{ m} \quad \text{uso } 30 \times 55$$

$$A_s = \frac{M}{0.9 d \bar{\sigma}_s} = \frac{115 \times 10}{0.9 \times 0.51 \times 266} = 9.41 \text{ cm}^2$$

# Progetto allo stato limite ultimo - commento

Si ottengono sezioni trasversali:

- simili a quelle richieste dal metodo delle tensioni ammissibili se non si considera l'armatura compressa
- sensibilmente più basse quando si considera l'armatura compressa

L'armatura tesa:

- é simile a quella richiesta dal metodo delle tensioni ammissibili per sezioni a semplice armatura
- può divenire eccessivamente grande quando si riduce l'altezza della sezioni sfruttando l'effetto positivo dell'armatura compressa

# Criteri di buona progettazione (SLU)

Per il progetto della sezione assumere un valore  
 $r' = 0.018$  o  $0.017$

(corrisponde a  $0 < u < 25\%$  per C25/30)

Per travi molto basse (a spessore) assumere valori  
un po' maggiori

$r' = 0.019$  (corrisponde a  $0 < u < 25\%$  per C25/30)

Se si ritiene accettabile una percentuale di armatura  
dell'1.5% si può scendere al valore

$r' = 0.015$  (ma non andare mai al di sotto di questi)

# Criteri di buona progettazione (SLU)

Per il progetto dell'armatura tesa considerare un braccio della coppia interna pari a  $0.9 d$

Nota:

Per sezioni a forte armatura (sconsigliate per la carenza di duttilità) il braccio della coppia interna potrebbe essere minore ( $0.8 d$ )

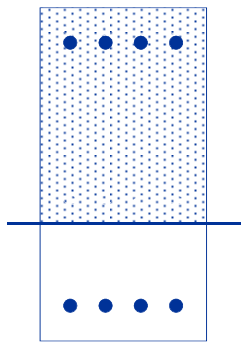
Progetto di sezioni soggette  
a flessione composta (pilastri)

# Domini di resistenza - stato limite ultimo

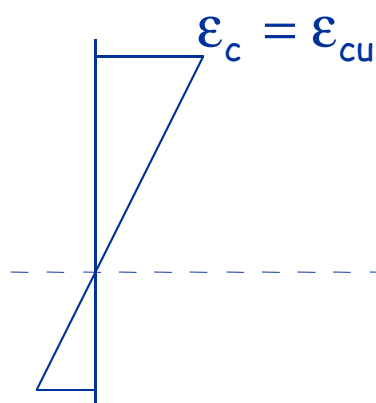
Dominio di resistenza, o curva di interazione = insieme delle coppie M-N per cui  $\varepsilon_{\max}$  è uguale a  $\varepsilon_{\lim}$

Per ricavare una coppia M-N del dominio

sezione



si assegna un diagramma di  $\varepsilon$



di  $\sigma$



si calcolano M ed N

$$N = \int \sigma dA$$

$$M = - \int \sigma y dA$$

# Domini di resistenza - stato limite ultimo

Dominio di resistenza, o curva di interazione = insieme delle coppie M-N per cui  $\varepsilon_{\max}$  è uguale a  $\bar{\varepsilon}_{cu}$

Per ricavare una coppia M-N del dominio



si calcolano  
M ed N

$$N = \int \sigma dA$$

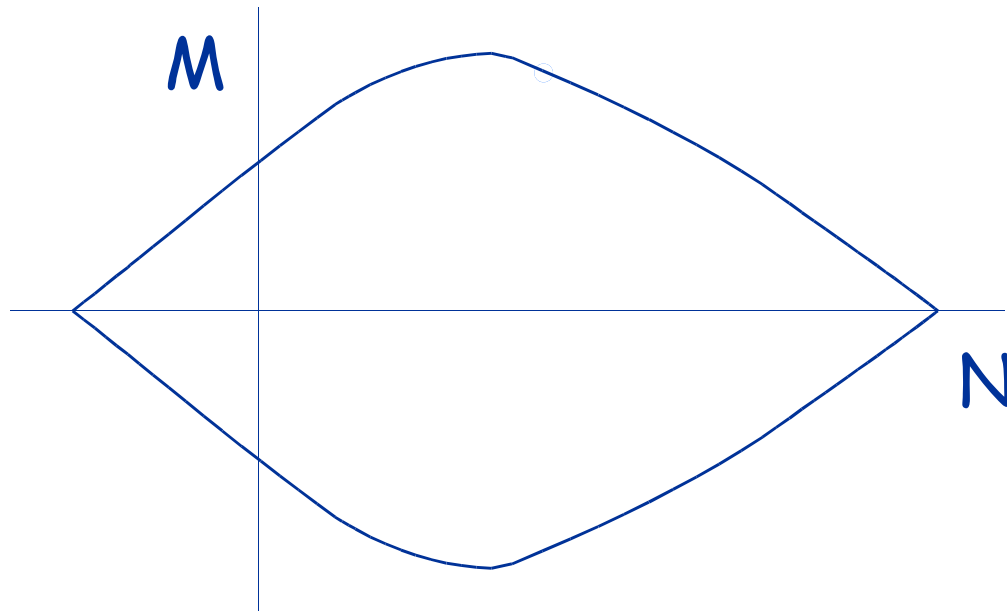
$$M = -\int \sigma y dA$$

e si riporta la coppia  
M - N nel diagramma

# Domini di resistenza - stato limite ultimo

Dominio di resistenza, o curva di interazione = insieme delle coppie M-N per cui  $\varepsilon_{\max}$  è uguale a  $\bar{\varepsilon}_{cu}$

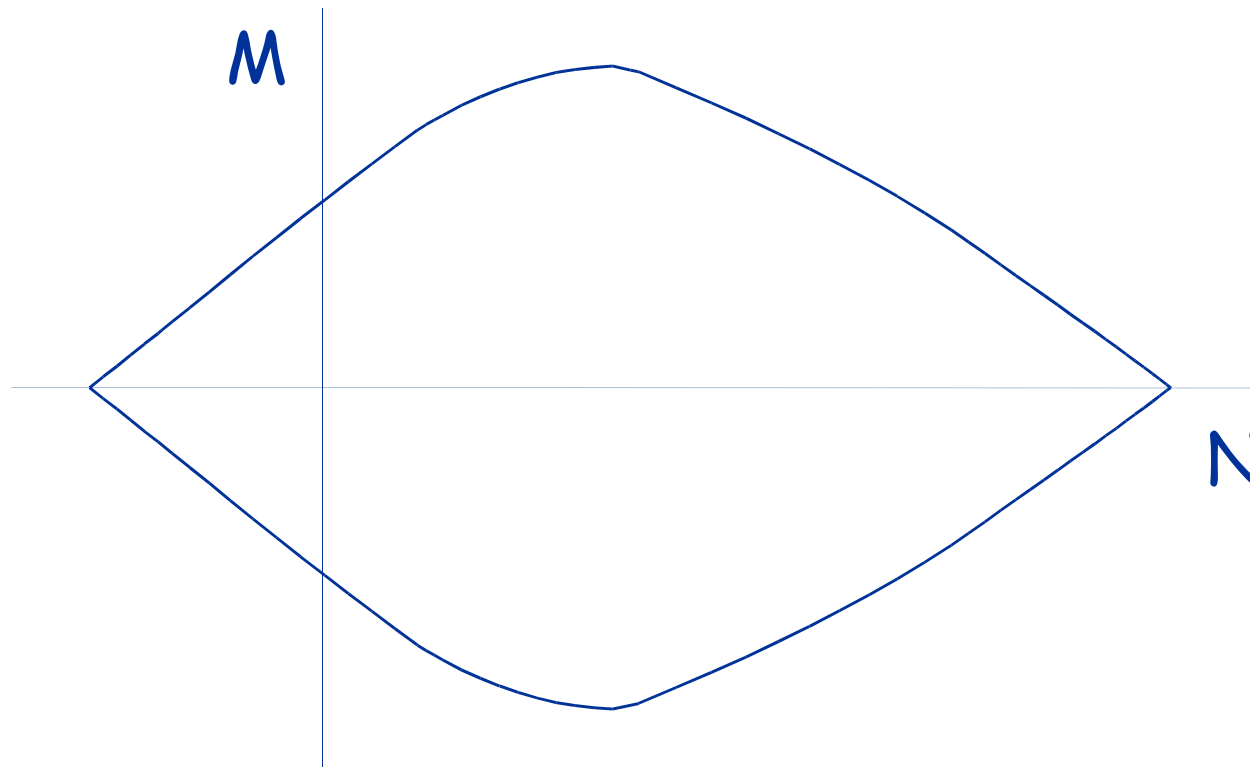
Ripetendo con tutti i possibili diagrammi ...



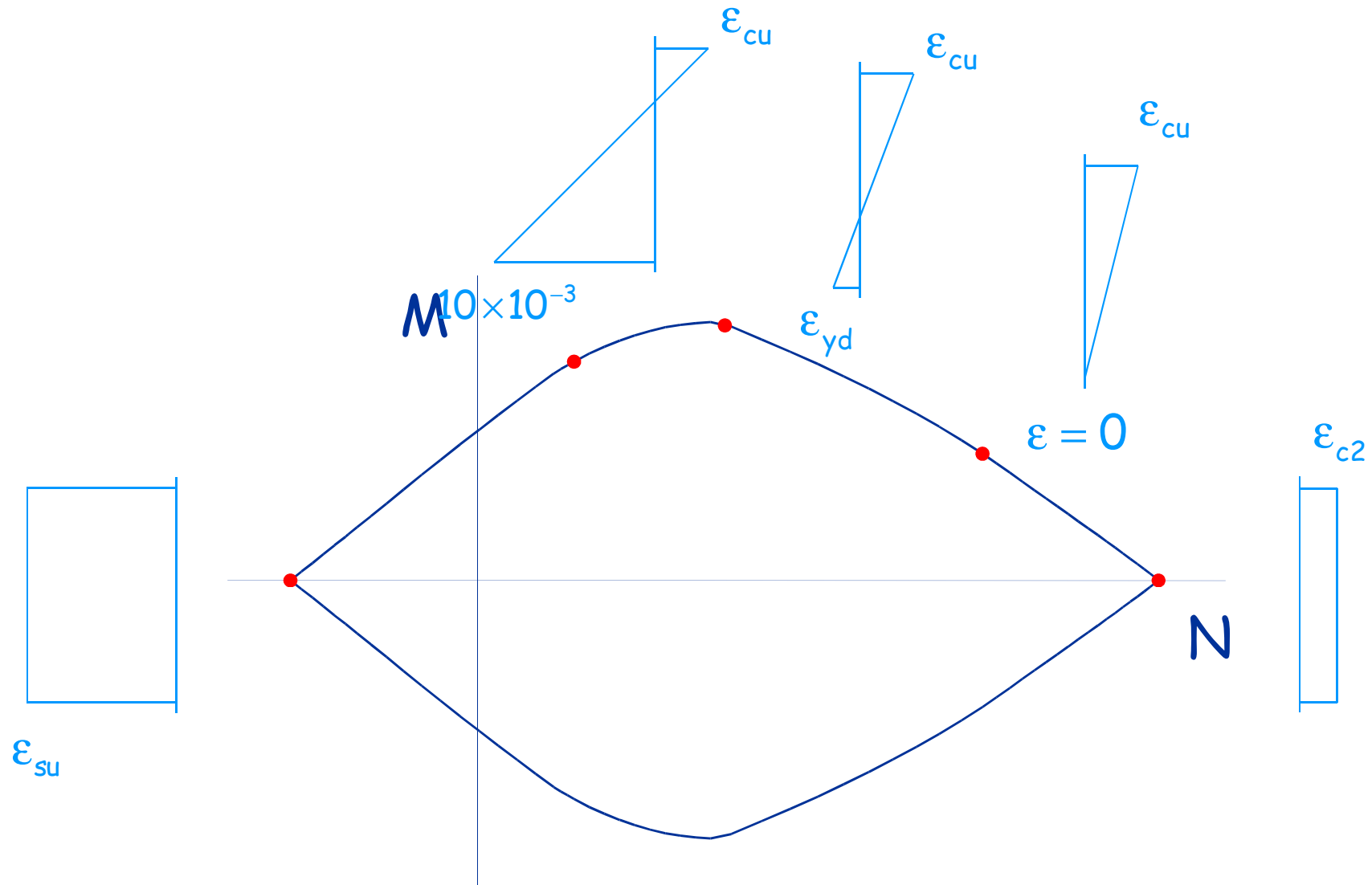
si ottiene il  
dominio  
completo

# Domini di resistenza - stato limite ultimo

Ogni punto corrisponde a un diverso diagramma di deformazioni

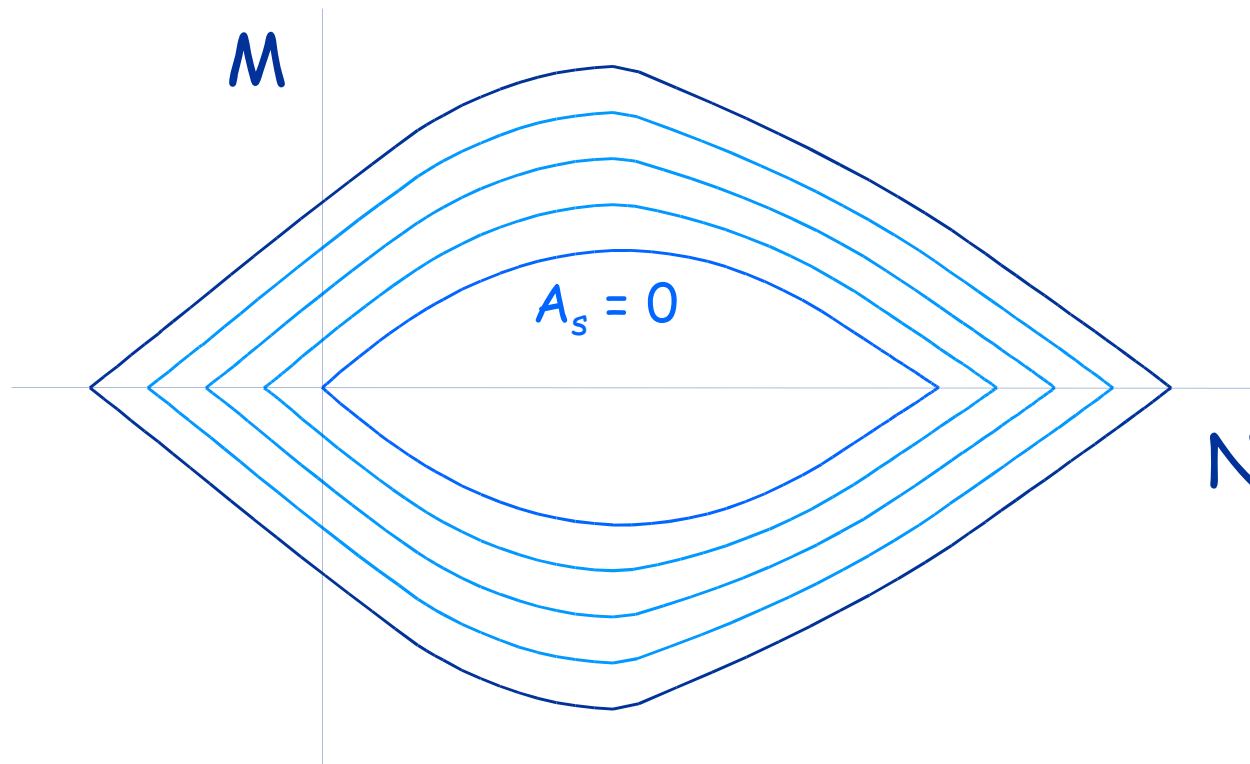


# Domini di resistenza - stato limite ultimo



# Domini di resistenza - stato limite ultimo

Cambiando l'armatura, si ottengono tanti diagrammi

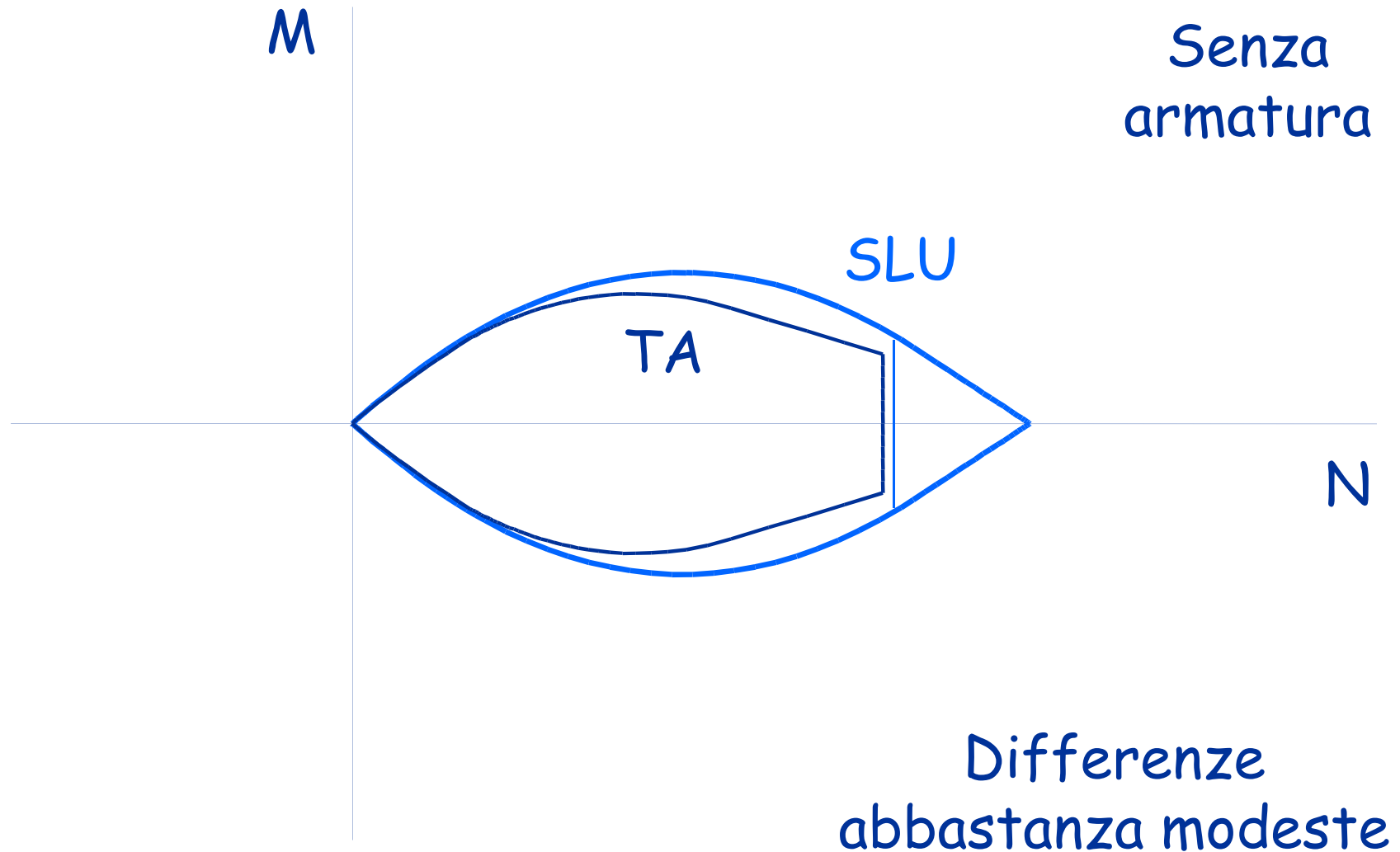


# Domini: confronto tra SLU e TA

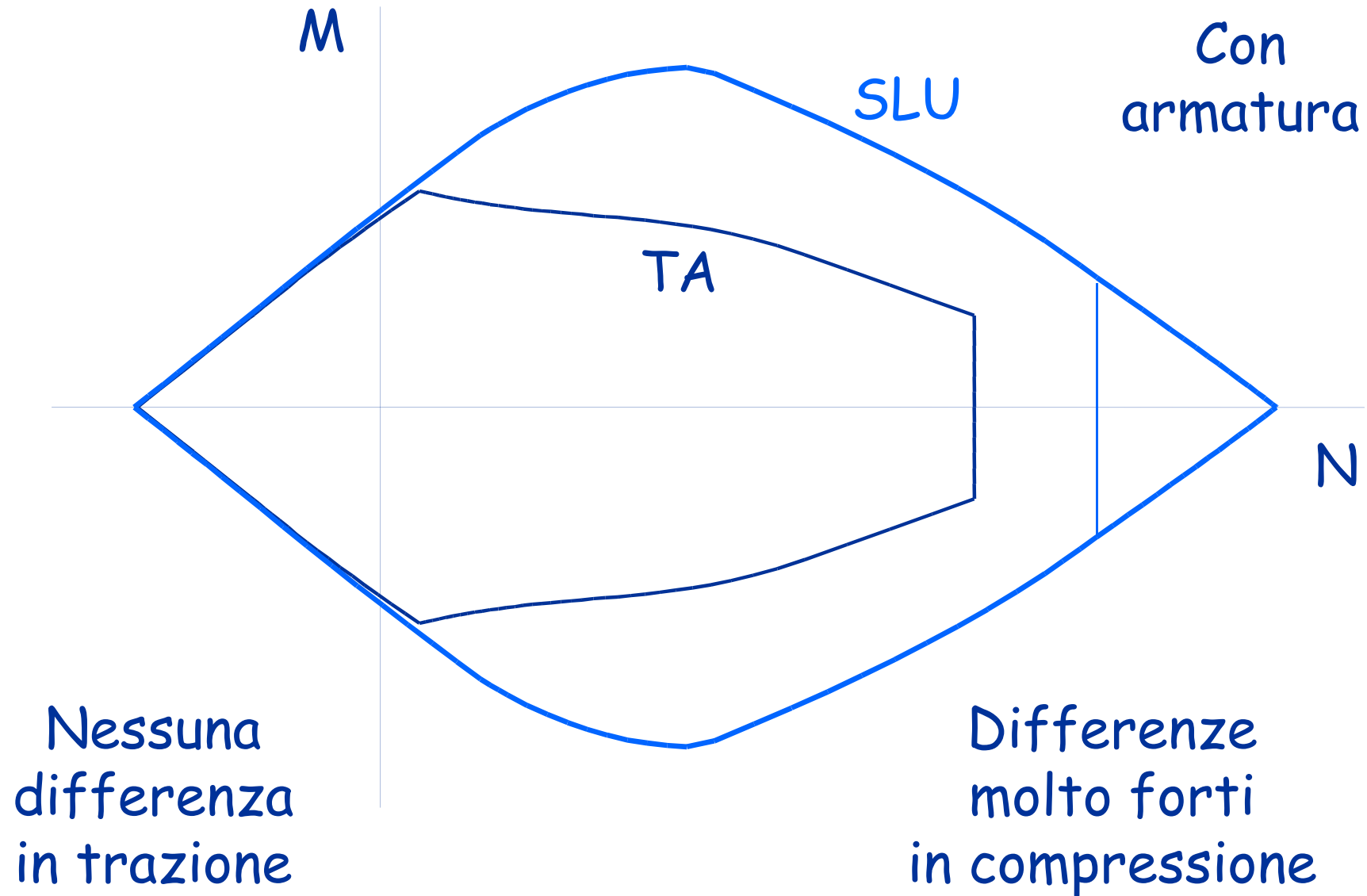
Il confronto può essere effettuato sovrapponendo i domini ricavati per SLU e TA

Poiché i carichi allo SLU sono maggiori (circa 1.4 volte) di quelli alle TA, il dominio relativo alle TA deve essere opportunamente scalato (ad esempio  $\times 1.4$ )

# Domini: confronto tra TA e SLU



# Domini: confronto tra TA e SLU

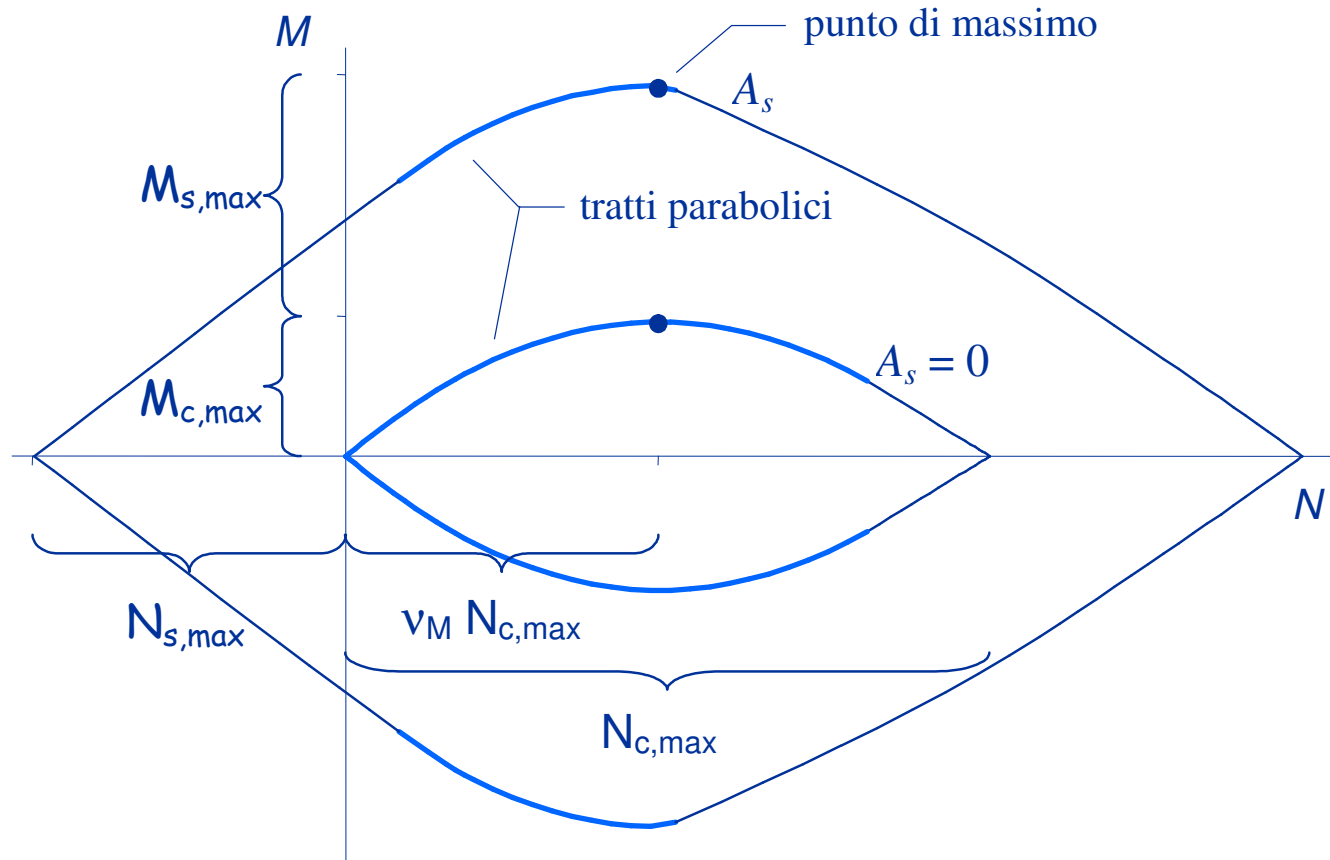


# Considerazioni operative per SLU

- La forma del dominio di resistenza (per sezioni rettangolari ad armatura simmetrica) è molto regolare
- È possibile approssimare tale forma con relazioni analitiche
- Le relazioni analitiche facilitano la verifica e consentono un agevole progetto delle armature

# Dominio M-N allo SLU

L'andamento delle curve è in più tratti parabolico



# Dominio M-N allo SLU

Quando entrambe le armature sono snervate

$$N = -\beta b x f_{cd}$$

$$M = \beta b x f_{cd} \left( \frac{h}{2} - \kappa x \right) + 2 A_s f_{yd} \left( \frac{h}{2} - c \right)$$

Il punto di massimo momento si ottiene derivando M

$$\frac{dM}{dx} = 0 \Rightarrow \beta b f_{cd} \left( \frac{h}{2} - 2 \kappa x \right) = 0$$

$$x = \frac{h}{4 \kappa} = \frac{119}{198} h \cong 0.60 h$$

# Dominio M-N allo SLU

Quando entrambe le armature sono snervate

$$N = -\beta b x f_{cd}$$

$$N = \frac{289}{584} b h f_{cd} \cong 0.48$$

$$M = \beta b x f_{cd} \left( \frac{h}{2} - \kappa x \right) + 2 A_s f_{yd} \left( \frac{h}{2} - c \right)$$

$$M = \frac{289}{2376} b h^2 f_{cd} + A_s f_{yd} (h - 2c) \cong 0.12$$

Il punto di massimo momento si ottiene derivando M

$$\frac{dM}{dx} = 0 \Rightarrow \beta b f_{cd} \left( \frac{h}{2} - 2 \kappa x \right) = 0$$

$$x = \frac{h}{4 \kappa} = \frac{119}{198} h \cong 0.60 h$$

Per questo valore di x si ha

# Dominio M-N allo SLU

Nel punto di massimo

$$N = v_M N_{c,max}$$

$$N_{c,max} = b h f_{cd}$$

$$v_M \cong 0.48$$

$$M_{c,max} \cong 0.12 b h^2 f_{cd}$$

$$N = \frac{289}{584} b h f_{cd} \cong 0.48$$

$$M = \frac{289}{2376} b h^2 f_{cd} + A_s f_{yd} (h - 2c) \cong 0.12$$

Inoltre:  
contributo  
dell'armatura

$$M = M_{c,max} + M_{s,max}$$

$$M_{s,max} = A_s (h - 2c) f_{yd}$$

Infine:

massimo sforzo  
normale di trazione

$$N_{s,max} = 2 A_s f_{yd}$$

# Dominio M-N allo SLU

$$M_{s,max} =$$

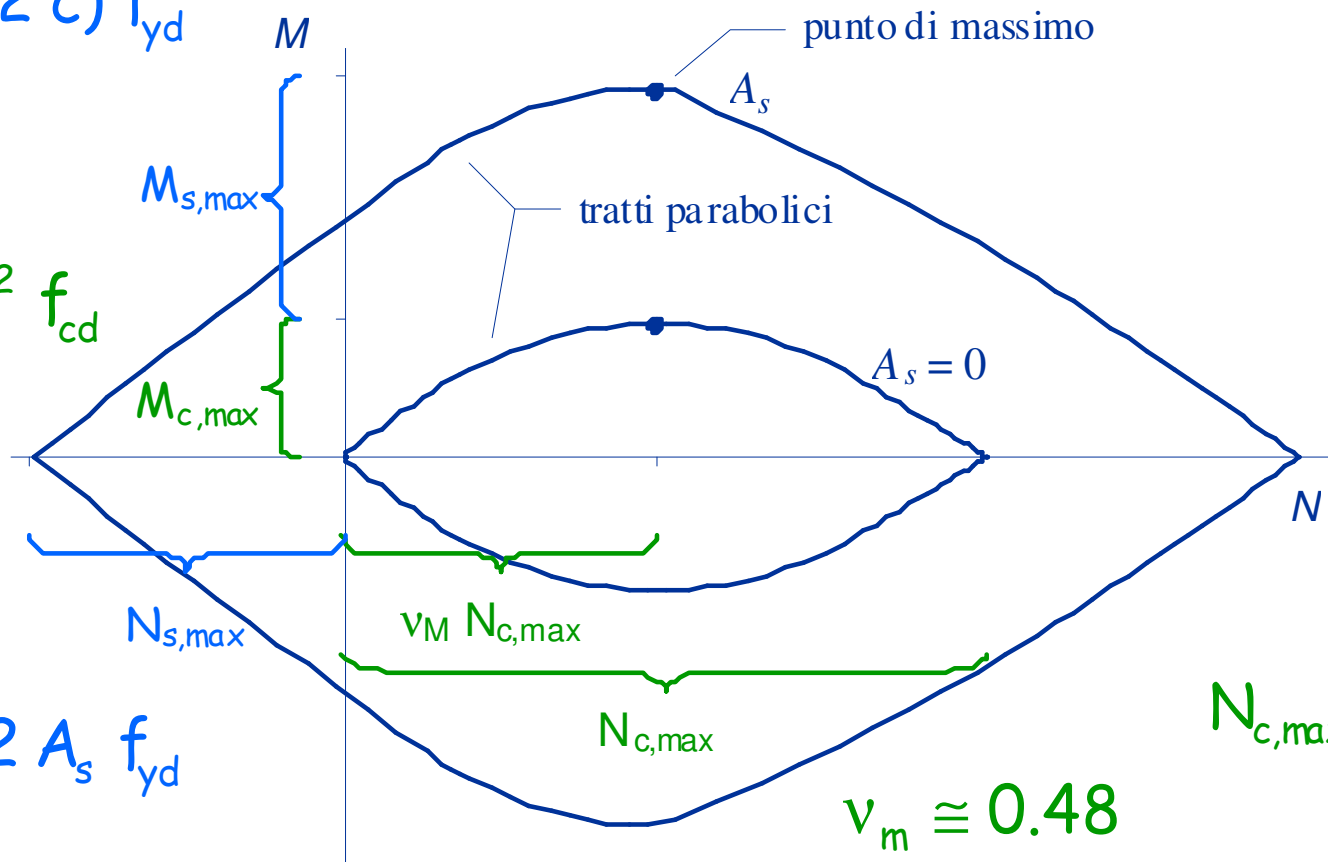
$$= A_s (h - 2c) f_{yd}$$

$$M_{c,max} =$$

$$\cong 0.12 b h^2 f_{cd}$$

$$N_{s,max} = 2 A_s f_{yd}$$

$$N_{c,max} = b h f_{cd}$$



# Valori base per dominio M-N

	Calcestruzzo	Acciaio
N	$N_{c,max} = b h f_{cd}$	$N_{s,max} = 2 A_s f_{yd}$
M	$M_{c,max} \cong 0.12 b h^2 f_{cd}$	$M_{s,max} = A_s (h - 2 c) f_{yd}$

# Formulazione analitica

Momento resistente  $M_{Rd}$  in funzione di  $N_{Rd}$ :

$$M_{Rd} = (M_{c,max} + M_{s,max}) \left[ 1 - \left| \frac{N_{Rd} + 0.48 N_{c,max}}{0.48 N_{c,max} + N_{s,max}} \right|^m \right]$$

con  $m = 1 + \frac{0.48 N_{c,max}}{0.48 N_{c,max} + N_{s,max}}$

Nota: uso  $N > 0$  per tensoflessione,  $N < 0$  per pressoflessione

# Formulazione analitica

Verifica di resistenza:

$$\frac{M_{Ed}}{M_{c,max} + M_{s,max}} + \left| \frac{N_{Ed} + 0.48 N_{c,max}}{0.48 N_{c,max} + N_{s,max}} \right|^m \leq 1$$

con  $m = 1 + \frac{0.48 N_{c,max}}{0.48 N_{c,max} + N_{s,max}}$

Nota: uso  $N > 0$  per tensoflessione,  $N < 0$  per pressoflessione

# Formule alternative

– per  $N_{Ed} < 0$  (tensoflessione)  $M_{Rd} = M_{s,max} \left( 1 + \frac{N_{Ed}}{N_{s,max}} \right)$

– per  $0 < N_{Ed} < 0.48 N_{c,max}$

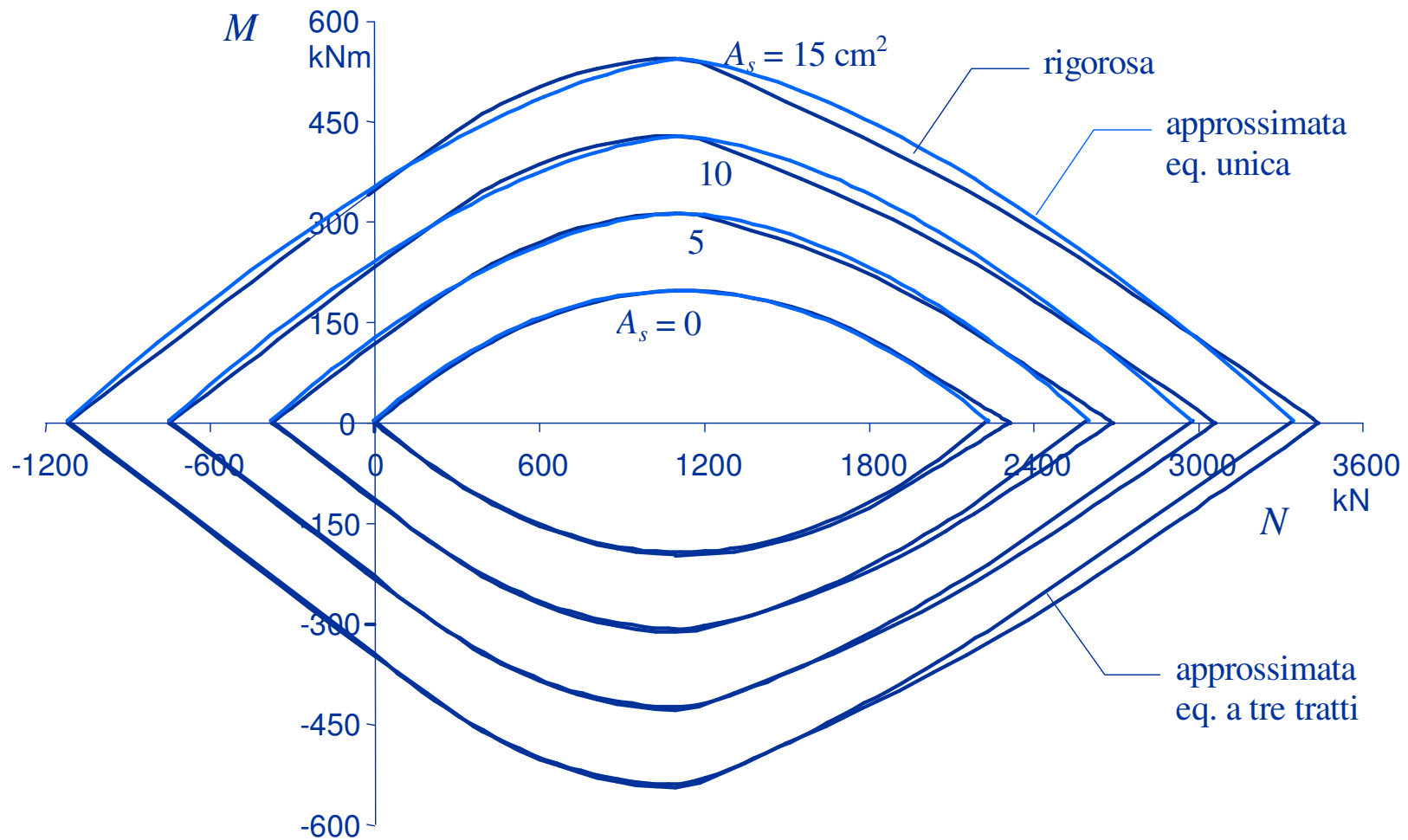
$$M_{Rd} = M_{c,max} \left[ 1 - \left( \frac{N_{Ed} + 0.48 N_{c,max}}{0.48 N_{c,max}} \right)^2 \right] + M_{s,max}$$

– per  $N_{Ed} > 0.48 N_{c,max}$

$$M_{Rd} = (M_{c,max} + M_{s,max}) \left[ 1 - \left( \frac{|N_{Ed} + 0.48 N_{c,max}|}{0.52 N_{c,max} + N_{s,max}} \right)^n \right]$$

con  $n = 1 + \left( \frac{0.48 N_{c,max}}{0.52 N_{c,max} + N_{s,max}} \right)^2$

# Confronto



# Esempio - verifica a pressoflessione

## Dati geometrici

Sezione 40x70

$A_s = A'_s = 3 \text{ } \emptyset 14$

## Materiale

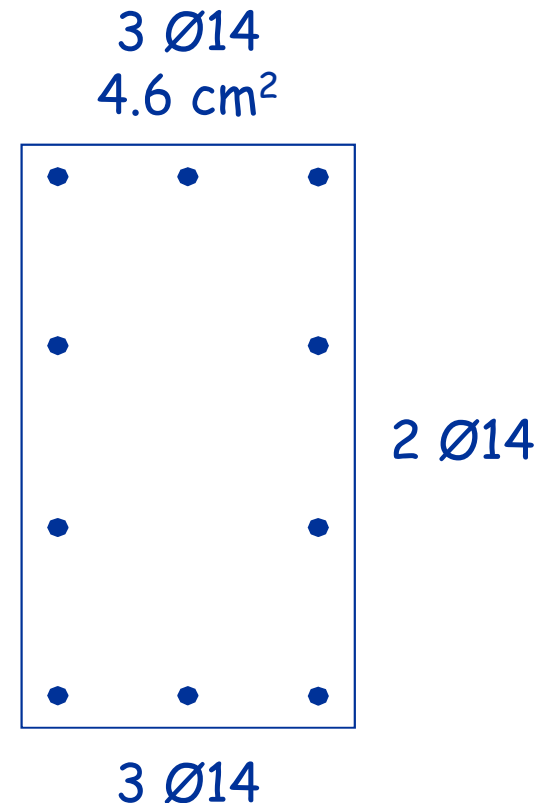
Calcestruzzo C25/30

Acciaio B450C

## Sollecitazioni

$N_{Ed} = -1300 \text{ kN}$

$M_{Ed} = 400 \text{ kNm}$



# Esempio - verifica a pressoflessione

Valori resistenti del calcestruzzo:

$$N_{c,max} = b h f_{cd} = 0.40 \times 0.70 \times 14.2 \times 10^3 = 3976 \text{ kN}$$

$$V_M N_{c,Rd} = 0.486 \times 3976 = 1932 \text{ kN}$$

$$M_{c,max} = \frac{289}{2376} b h^2 f_{cd} = 0.1216 \times 0.40 \times 0.70^2 \times 14.2 \times 10^3$$

$$M_{c,max} = 338.4 \text{ kNm}$$

# Esempio - verifica a pressoflessione

Valori resistenti dell'acciaio:

$$N_{s,max} = 2 A_s f_{yd} = 2 \times 4.62 \times 391 \times 10^{-1}$$

$$N_{s,max} = 361.2 \text{ kN}$$

$$M_{s,max} = A_s (h - 2c) f_{yd} = 4.62 \times (0.70 - 2 \times 0.04) \times 391 \times 10^{-1}$$

$$M_{s,max} = 112.0 \text{ kNm}$$

# Esempio - verifica a pressoflessione

Momento resistente:

$$m = 1 + \frac{v_M N_{c,\max}}{v_M N_{c,\max} + N_{s,\max}} = 1 + \frac{1932}{1932 + 361.2} = 1.842$$

$$M_{Rd} = (M_{c,\max} + M_{s,\max}) \left[ 1 - \frac{|N_{Rd} + v_M N_{c,\max}|^m}{v_M N_{c,\max} + N_{s,\max}} \right] =$$

$$= (338.4 + 112.0) \left[ 1 - \frac{|-1300 + 1932|^{1.842}}{1932 + 361.2} \right] =$$

$$= 408.5 \text{ kNm}$$

$$M_{Ed} < M_{Rd}$$

Sezione  
verificata

# Esempio - verifica a pressoflessione

Oppure:

$$m = 1.842$$

$$\frac{M_{Ed}}{M_{c,max} + M_{s,max}} + \left| \frac{N_{Ed} + v_M N_{c,max}}{v_M N_{c,max} + N_{s,max}} \right|^m \leq 1$$

$$\frac{400}{338.4 + 112.0} + \left| \frac{-1300 + 1932}{1932 + 361.2} \right|^{1.842} =$$

$$= 0.888 + 0.093 = 0.981 \leq 1$$

Sezione  
verificata

# Progetto dell'armatura

Il momento affidato alle armature è

$$M_{Ed,red} = M_{Ed} - M_{c,max} \left[ 1 - \left( \frac{N_{Ed} + v_M N_{c,max}}{v_M N_{c,max}} \right)^2 \right]$$

L'armatura necessaria è quindi

$$A_s = \frac{M_{Ed,red}}{z f_{yd}}$$

$z$  è il braccio della coppia interna  
costituita dalle armature

$$z = h - 2c \cong 0.9d$$

Nota: la formula vale rigorosamente solo per  $0 \leq |N_{Ed}| \leq v_M N_{c,max}$

# Esempio - progetto dell'armatura

Dati geometrici

Sezione 40x70

Sollecitazioni

$$N_{Ed} = -1300 \text{ kN}$$

$$M_{Ed} = 400 \text{ kNm}$$

$$M_{Ed,red} = 400 - 338.4 \left[ 1 - \left( \frac{-1300 + 1932}{1932} \right)^2 \right] = 97.8 \text{ kNm}$$

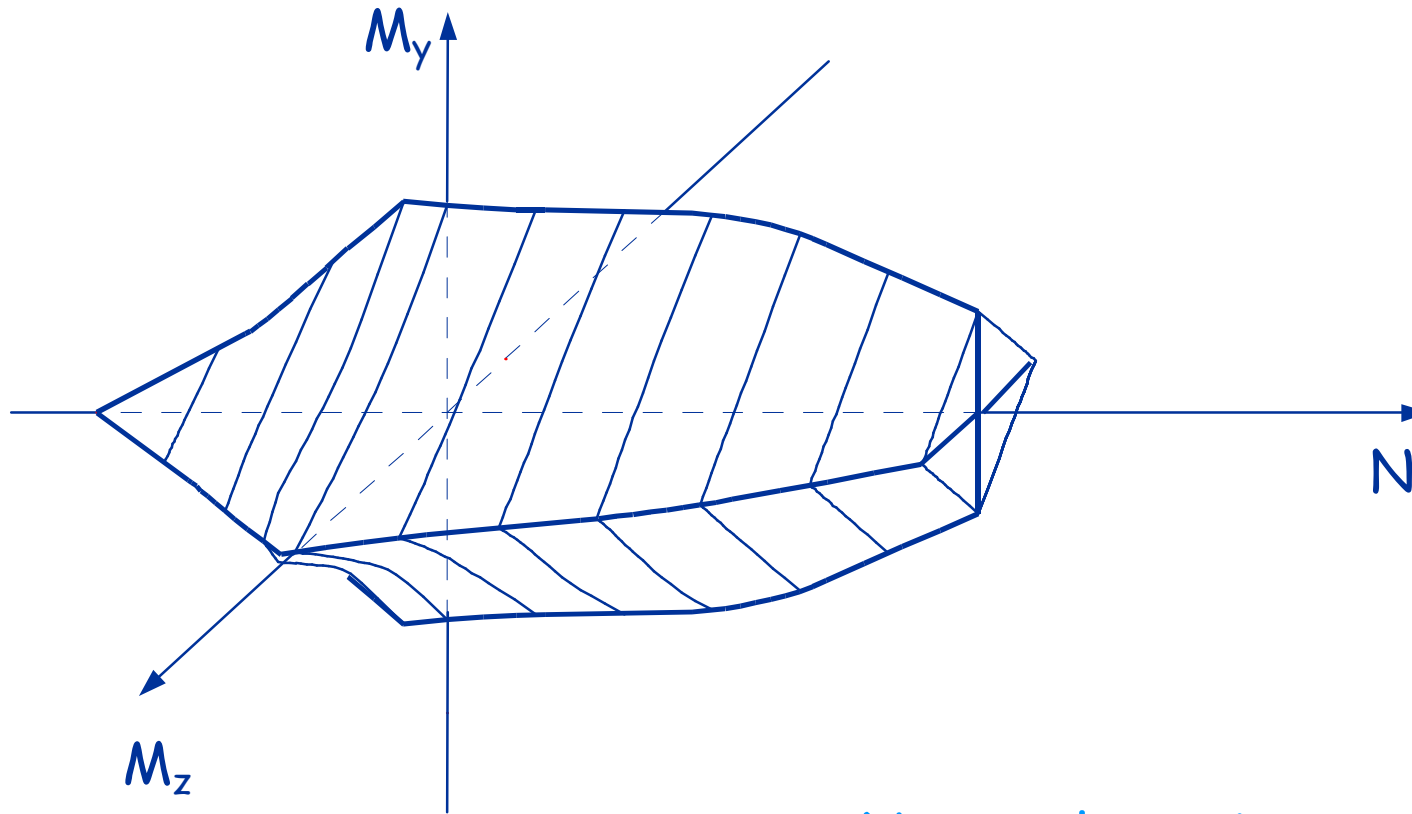
Armatura necessaria:

$$A_s = \frac{97.8}{0.9 \times 0.66 \times 391} \times 10 = 4.2 \text{ cm}^2$$

Domini M-N  
per flessione composta deviata

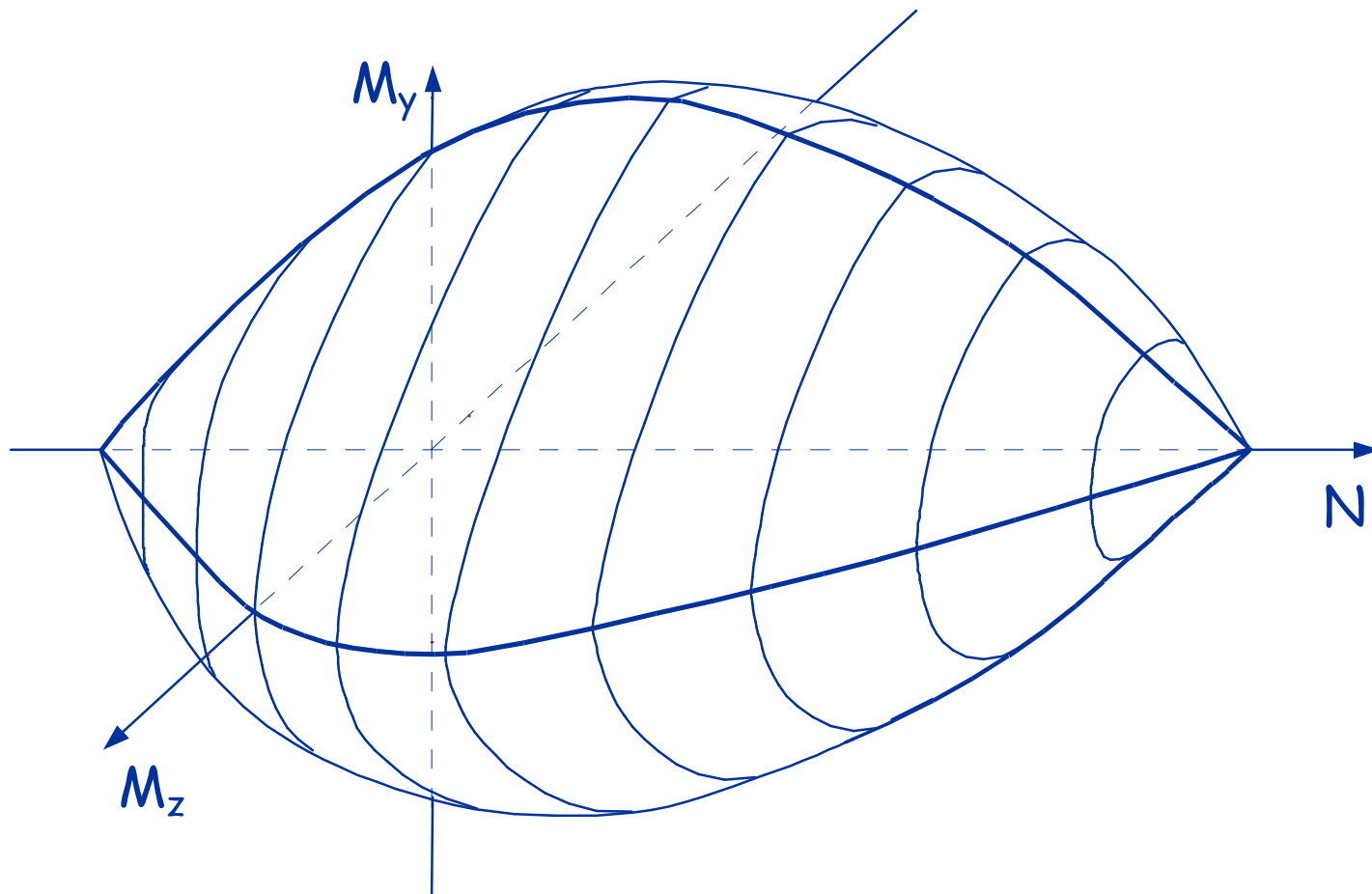


# Dominio alle TA

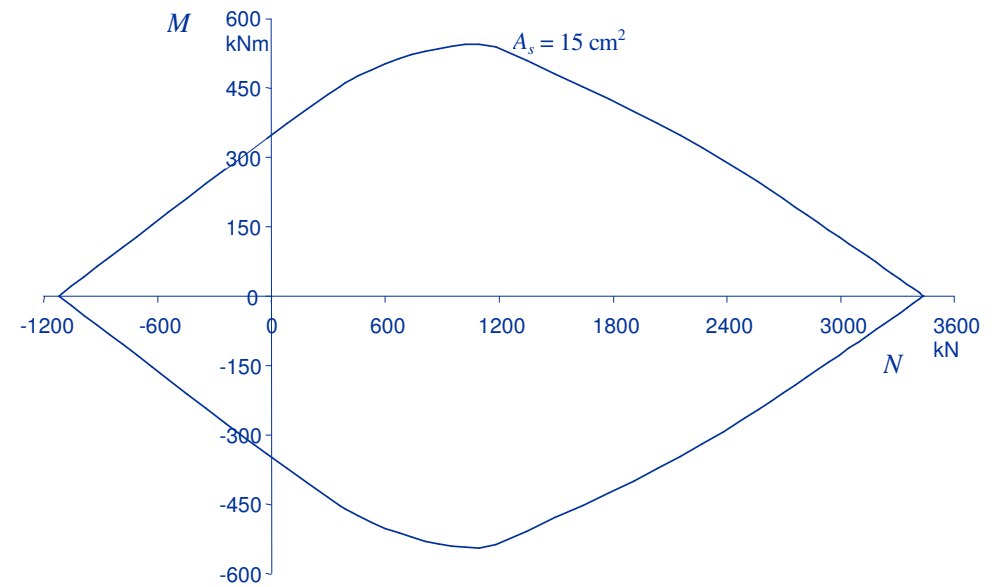
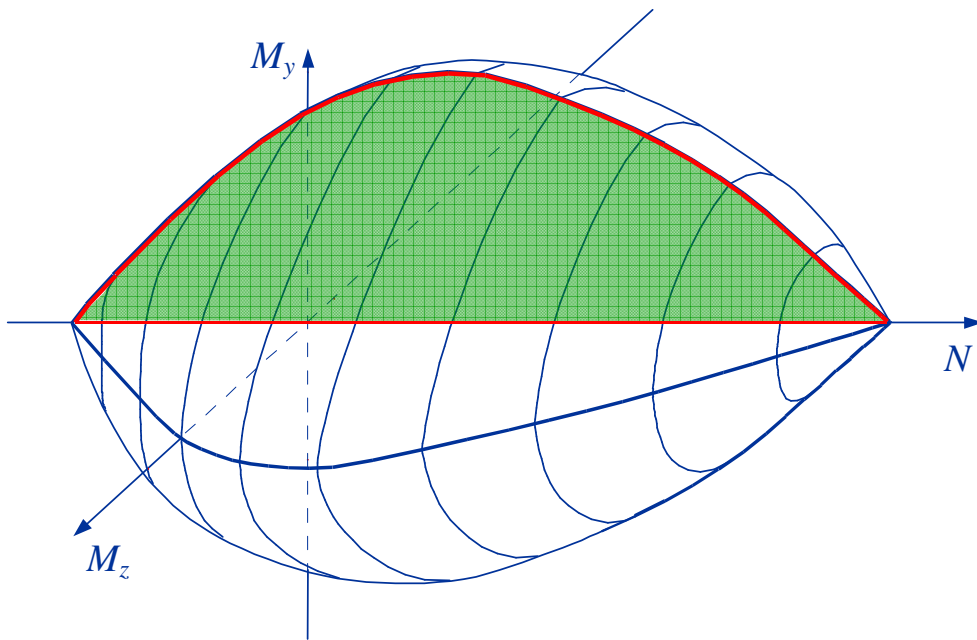


Notare la sezione trasversale:  
la presenza contemporanea di  
 $M_y$  e  $M_z$  è molto penalizzante

# Dominio allo SLU



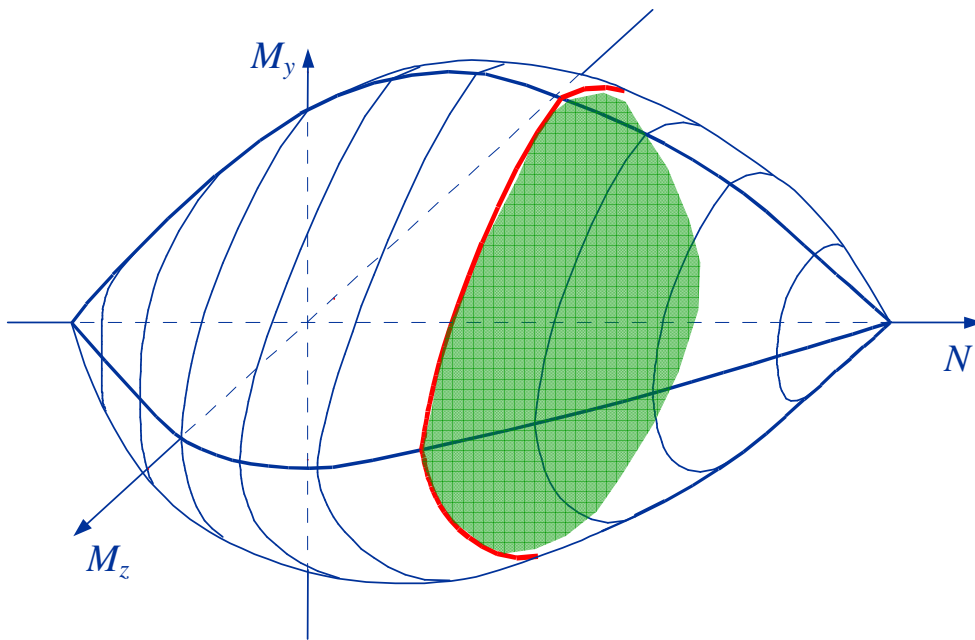
# Dominio allo SLU



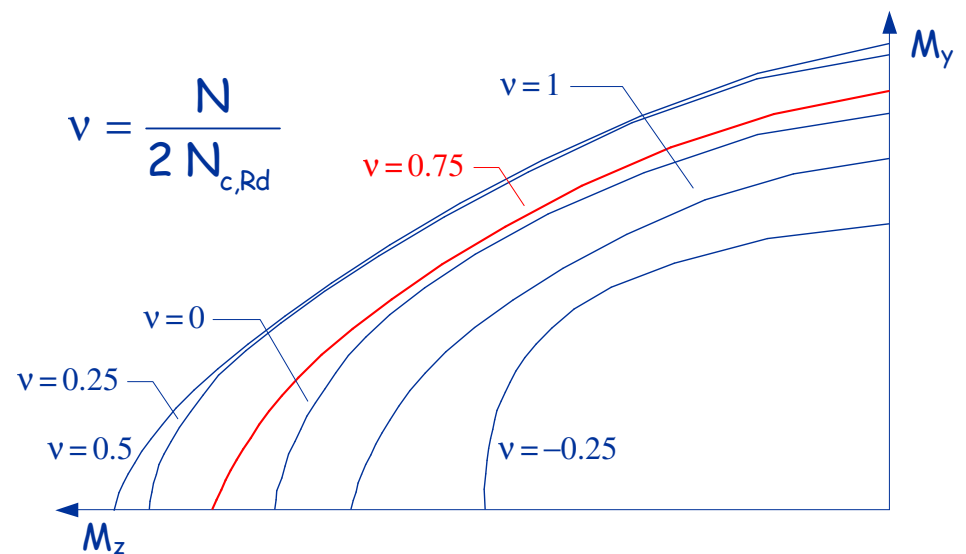
# Dominio allo SLU

$$\left( \frac{M_z}{M_{z,Rd}} \right)^p + \left( \frac{M_y}{M_{y,Rd}} \right)^q = 1$$

Consiglio:  
usare  $p = q = 1.5$



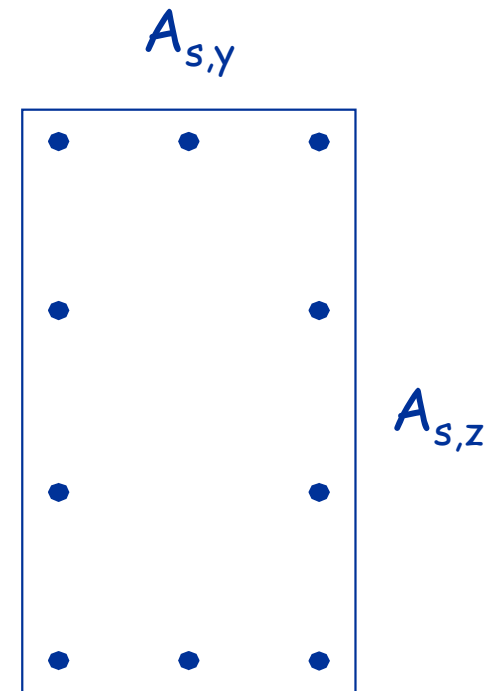
Nota: per  $N \cong 0$  si può usare un esponente maggiore, fino a 2



# Considerazioni

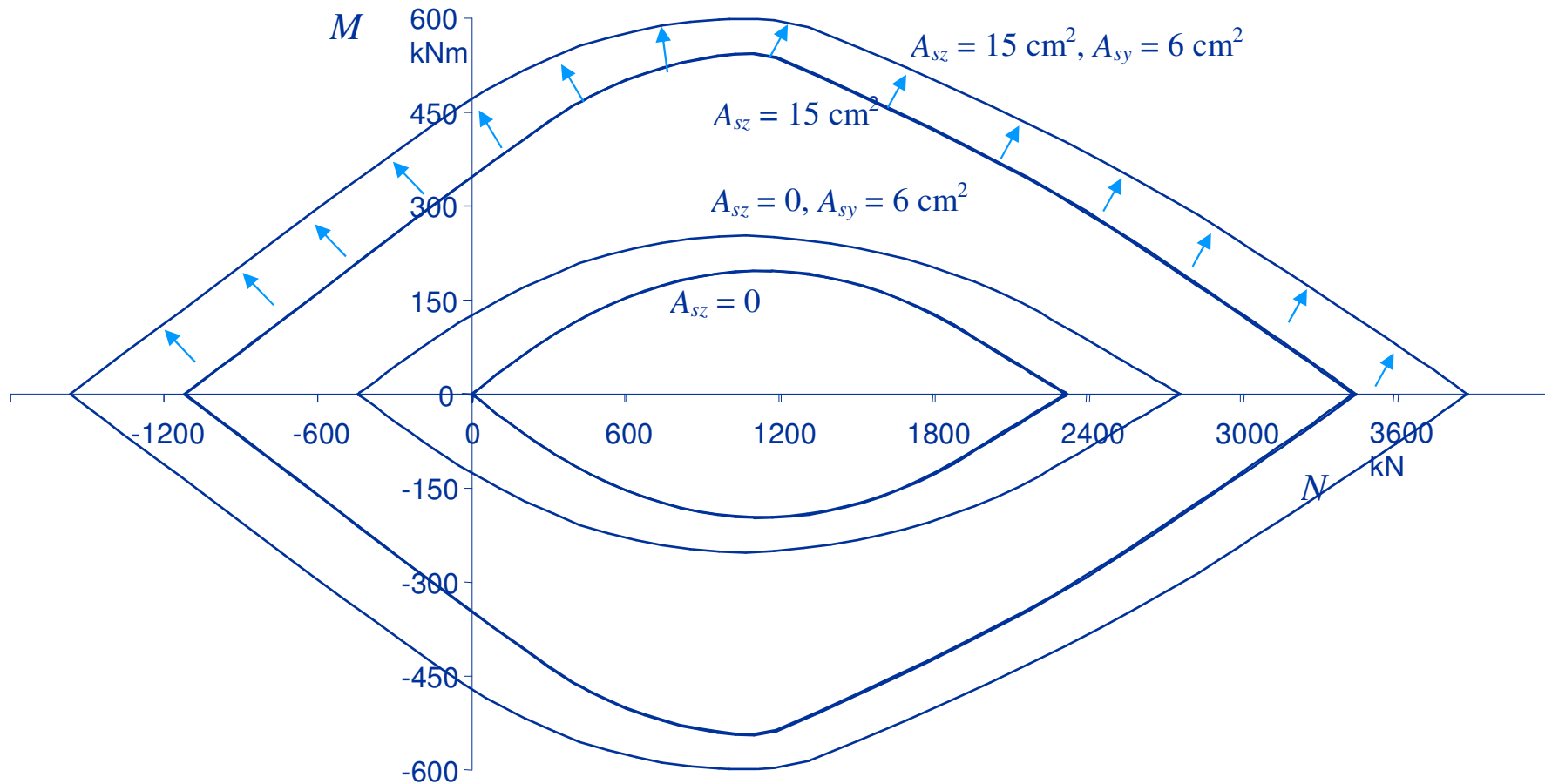
Nel calcolare il momento resistente  $M_{Rd,y}$  si dovrebbe prendere in considerazione anche l'armatura sul lato verticale

e viceversa



# Considerazioni

Ciò porterebbe ad un incremento del momento resistente



# Considerazioni

Ciò porterebbe ad un incremento del momento resistente

$$M_{Rd} = (M_{c,max} + M_{sz,max} + M_{sy,max}) \left[ 1 - \left( \frac{N_{Rd} + v_M N_{c,max}}{v_M N_{c,max} + N_{sz,max} + N_{sy,max}} \right)^m \right]$$

con  $m = 1 + \left( \frac{v_M N_{c,max} + N_{sy,max}}{v_M N_{c,max} + N_{sz,max} + N_{sy,max}} \right)$

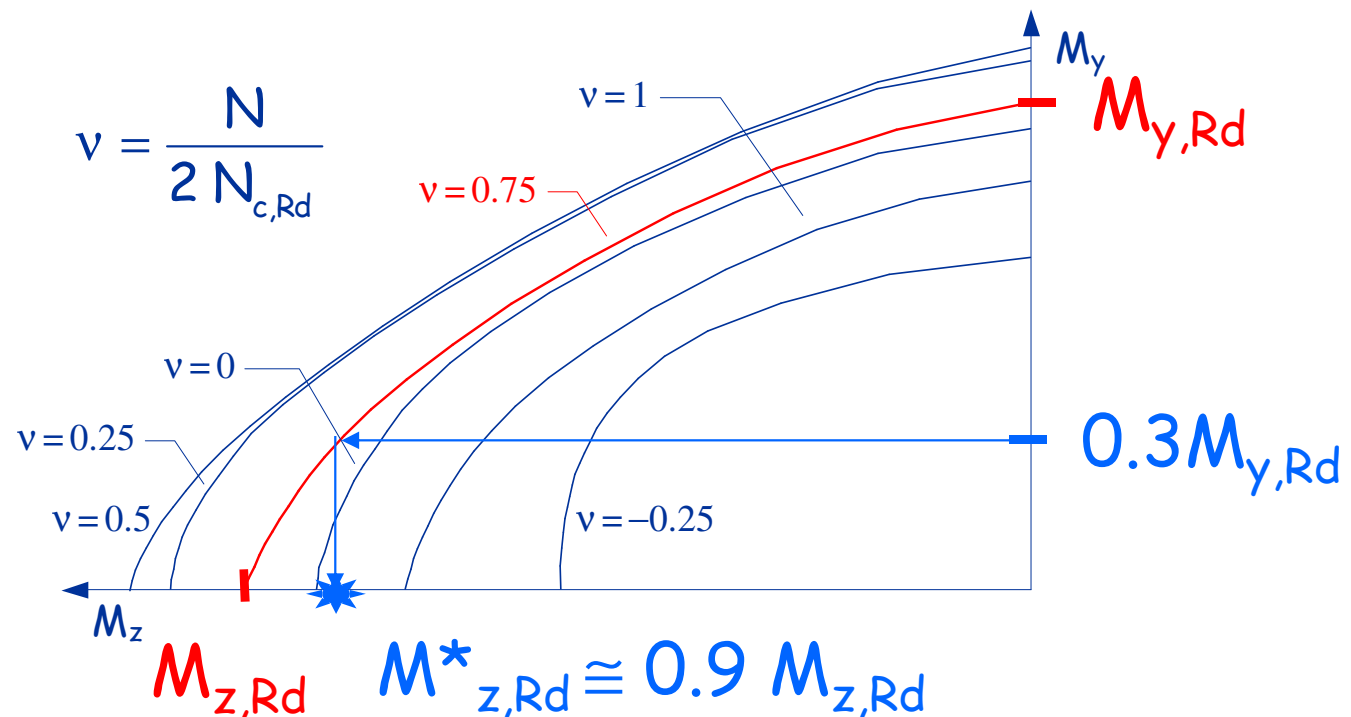
# Valori base per dominio M-N includendo l'armatura "di parete"

	Calcestruzzo	Acciaio
N	$v_M N_{c,max} = \frac{289}{594} b h f_{cd}$	<del><math>N_{s,max} = 2 A_s f_{yd}</math></del> $N_{s,max} = 2 (A_s + A_{s,p}) f_{yd}$
M	$M_{c,max} = \frac{289}{2376} b h^2 f_{cd}$	<del><math>M_{s,max} = A_s (h - 2c) f_{yd}</math></del> $M_{s,max} = (A_s + 0.4 A_{s,p}) (h - 2c) f_{yd}$

E' possibile usare le stesse formule modificando  $N_{s,max}$  e  $M_{s,max}$

# Considerazioni

Contemporaneamente, la presenza di momento nella direzione trasversale riduce il momento resistente



# Indicazioni operative

Finché il momento trasversale non è eccessivo, i due effetti si compensano

E' possibile progettare a pressoflessione retta, separatamente per le due direzioni,

e poi effettuare un controllo a pressoflessione deviata